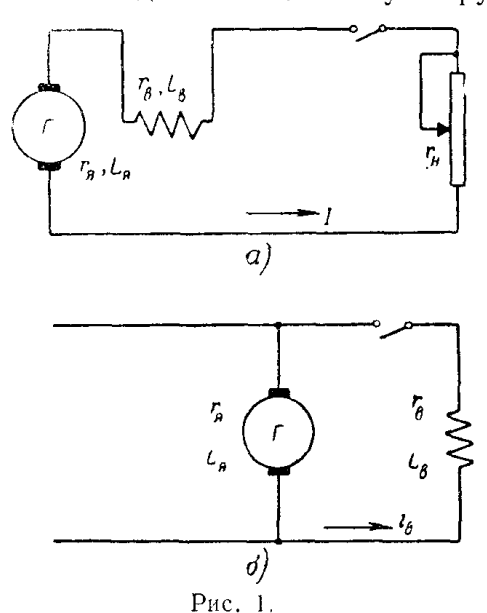
## О САМОВОЗБУЖДЕНИИ ГЕНЕРАТОРОВ ПОСТОЯННОГО ТОКА

Л. И. Ганджа

(Представлено научно-методическим семинаром ЭМФ ТПИ)

По способу включения обмотки возбуждения различают два типа самовозбуждающихся генераторов: с последовательным и параллельным возбуждениями. В генераторе первого типа (рис. 1,a) процесс возбуждения начинается за счет э. д. с.  $e_0$  от остаточного магнетизма с момента подключения к нему нагрузки. В генераторе второго типа с непод-



ключенной к якорю нагрузкой (рис. 1,6) процесс возбуждения начинается также за счет  $e_0$  с момента подключения к якорю его обмотки возбуждения. В обоих случаях последняя включается последовательно с якорем и оба названные элемента обтекаются одним током; естественно поэтому, что процесс самовозбуждения в обоих случаях будет описываться одним дифференциальным уравнением, и физика процесса возбуждения обоих генераторов будет одна и та же. Далее будем подробно рассматривать явления, связанные с процессом возбуждения генератора лервого типа, поскольку генератор с последовательным возбуждением в основном и определяет автоколебательные свойства системы «генератор — двигатель». Выводы, которые мы получим при рас-

смотрении свойств системы рис. 1,a, можно будет распространить и на систему рис.  $1,\delta$ .

Рассмотрим подробнее процесс возбуждения генератора с последовательным возбуждением при включении его на омическое сопротивление, т. е. на нагрузку, не способную накапливать энергию какого-либо вида. Выводы, которые мы при этом получим, окажутся необходимыми при рассмотрении автоколебаний в простой системе «генератор — двигатель».

1. Дифференциальное уравнение процесса самовозбуждения генератора. Применительно к схеме рис. 1, а введем следующие обозначения:

 $e_z=e_z\left(I\right)$  — э. д. с. генератора, являющаяся нелинейной функцией тока возбуждения, равного току нагрузки, и определяемая по кривой намагничивания (рйс. 2);  $R=r_s+r_s+r_\kappa$  — полное сопротивление силовой цепи, где  $r_s$ ,  $r_s$  и  $r_\kappa$  — соответственно сопротивления якоря генератора, его обмотки возбуждения и нагрузки; за счет падения напряжения в щеточном контакте, зависящего от тока нагрузки, R является вели-

чиной переменной и обусловливает нелинейную вольт-амперную характеристику  $u=RI=u\left(I\right)$ , представляющую собой падение напряжения в силовой цепи;

 $L\left(I\right) = L_{_{\mathcal{B}}}\left(I\right) + L_{_{\mathcal{B}}}\left(I\right)$ — соответственно коэффициенты самоиндукции силовой цепи, обмотки якоря генератора и его обмотки возбуждения, являющиеся также функциями тока нагрузки.

Принимая обычные допущения (отсутствие вихревых токов, реакции якоря и пр.), будем иметь следующее дифференциальное уравнение, описывающее переходный процесс самовозбуждения генератора:

$$e_{z}(I) = R(I) \cdot I + L(I) \frac{dI}{dt} = u(I) + L(I) \frac{dI}{dt}. \tag{1}$$

Уравнение (1) является нелинейным дифференциальным уравнением первого порядка. Система рис.  $1, \delta$  опишется тем же уравнением (1) с заменой в нем I на  $i_s$ .

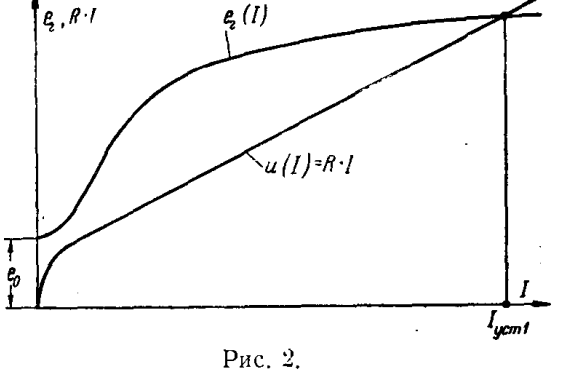
2. Состояния равновесия генератора. Решая (1) относительно производной, получим:

$$\frac{dI}{dt} = \frac{e_z(I) - u(I)}{L(I)}.$$
 (2)

По окончании переходного процесса система достигнет состояния равновесия, ток станет равен установившемуся току  $I_{ycm}$ , а производная  $\frac{dI_{ycm}}{dt}$  станет равной нулю. Так как рассматриваемая нами система описывается дифференциальным уравнением первого порядка, то для

установившегося процесса (или для состояний равновесия) необходимо и достаточно положить равной нулю только одну первую производную  $\frac{dI}{dt}$ . Таким образом, полагая  $I := I_{ycm}$ , из (2) получим:

$$\frac{dI_{ycm}}{dt} = \frac{e_z \left(I_{ycm}\right) - u \left(I_{ycm}\right)}{L \left(I_{ycm}\right)} = 0,$$



откуда следует, что необходимым и достаточным условием равновесия системы рис. 1, а является условие

$$e_{z}(I_{ucm}) = u(I_{ucm}). \tag{4}$$

Последнее означает, что система достигает состояний равновесия в точках пересечения кривых  $e_{\varepsilon}(I)$  и u(I) (рис. 2). Имея в виду, что генератор может намагничиваться как до положительных, так и до отрицательных значений э. д. с. при соответствующих направлениях тока в обмотке возбуждения, получим две точки  $A_1$  и  $A_1'$ , соответствующие состояниям равновесия при условии, что кривая  $e_{\varepsilon}(I)$  располагается выше кривой u(I) в области значений тока от 0 до  $I_{ucm}$  (рис. 3).

3. Устойчивость состояний равновесия генератора. Так как уравнения (1) и (2) являются нелинейными, то исследование устойчивости состояний равновесия рассматриваемой системы должно быть произведено по методу Ляпунова. Для этого полагаем прежде всего

$$I = I_{ycm} + \Delta I, \tag{5}$$

где  $\Delta I$  является отклонением тока от его установившегося (или равновесного) значения. Так как из (2) следует, что  $\frac{dI}{dt}$  является функцией тока, то, полагая

$$\frac{dI}{dt} = f(I) \tag{6}$$

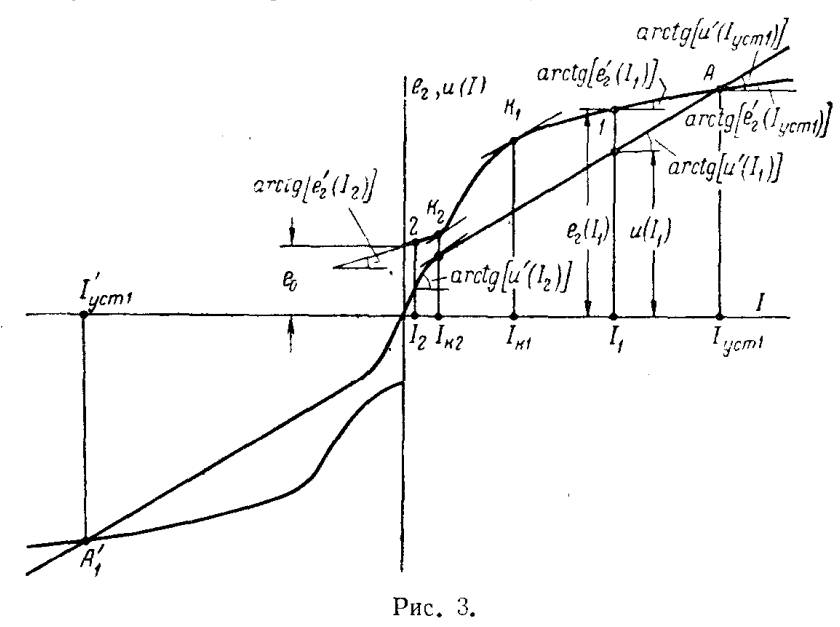
и подставляя (5) в (6), будем иметь:

$$\frac{d(\Delta I)}{dI} = f(I_{ycm} + \Delta I), \tag{7}$$

а разлагая  $\frac{d\left(\Delta I\right)}{dt}$  в ряд Тэйлора по степеням  $\Delta I$ , получим:

$$\frac{d(\Delta I)}{dt} = f(I_{ycm}) + f'(I_{ycm}) \Delta I + \frac{1}{1 \cdot 2} f''(I_{ycm}) (\Delta I)^2.$$
 (8)

Следуя Ляпонову, отбросим в (8) члены, содержащие  $\Delta I$  в степенях, больших первой; имея, кроме того, в виду, что в соответствии с (6)



и (3)  $f(I_{ycm}) = 0$ , получим линейное уравнение первого приближения в виде:

$$\frac{d(\Delta I)}{dt} = f'(I_{ycm}) \Delta I. \tag{9}$$

Для определения  $f'(I_{ycm})$  найдем f'(I) на основании (6) и (2). Будем иметь:

$$f'(I) = \frac{[e'_{z}(I) - u'(I)] L'(I) - L'(I)[e_{z}(I) - u(I)]}{[L(I)]^{2}},$$

и подставляя  $I = I_{ycm}$  и имея в виду (4), получим:

$$f'(I_{ycm}) = \frac{e'_{z}(I_{ycm}) - u'(I_{ycm})}{L(I_{cm})}.$$
 (10)

Подставляя (10) в (9), получим окончательно:

$$\frac{d(\Delta I)}{dt} - \frac{e_z'(I_{ycm}) - u'(I_{ycm})}{L(I_{ycm})} \Delta I = 0.$$
 (11)

Характеристическое уравнение для линейного дифференциального уравнения (11) имеет вид:

$$p - \frac{e_z'(I_{ycm}) - u'(I_{ycm})}{L(I_{ycm})} = 0, (12)$$

откуда определяется единственный корень этого уравнения:

$$p = \frac{e_z'(I_{ycm}) - u'(I_{ycm})}{L(I_{ycm})}.$$
 (13)

Так как в соответствии с рис.  $3 \mid e_{\varepsilon}^{'}(I_{ycm}) \mid < \mid u'(I_{ycm}) \mid$ , то на основании (13) корень p < 0, что, по Ляпунову, является признаком устойчивого состояния равновесия. Так как уравнению (11) соответствует решение  $\Delta I = Ce^{pt}$ , где C— постоянная интегрирования, то при p < 0 отклонение  $\Delta I$  при  $t \to \infty$  затухает, т. е. система стремится к прежнему состоянию равновесия.

Таким образом, на основании (13) необходимым и достаточным условием устойчивости состояния равновесия рассматриваемой системы, является условие

$$e'_{z}(I_{ycm}) - u'(I_{ycm}) < 0,$$
 (14)

и в соответствии с этим точки  $A_{\bf i}$  и  $A_{\bf i}'$  (рис. 3) соответствуют состояниям устойчивого равновесия.

4. Изображение процесса самовозбуждения на фазовой плоскости.

Как известно, фазовой плоскостью называется плоскость, на которой изображаются состояния системы и их изменения. Фазовой плоскостью является плоскость  $\frac{dx}{dt} = f(x)$ . Вводя обозначение для произ-

водной тока по времени  $\frac{dI}{dt} = I_t'$ , получим на основании (1):

$$\left\{ e_{z}(I) = u(I) + L(I)I'_{t}, \atop I'_{t} = \frac{dI}{dt}, \right\}$$
(14a)

откуда

$$I_{t}' = \frac{e_{z}(l) - u(l)}{L(l)}, \qquad (15)$$

и, таким образом, фазовая траектория  $I_t' = f(I)$  может быть легко построена, если разности между ординатами кривых  $e_z(I)$  и u(I) (рис. 2 и 3), разделенные на L(I), откладывать при соответствующих значениях тока на плоскости  $I_t' - I$ . Такое построение выполнено на рис. 4 для одного квадранта.

Очевидно, что условие  $I_t'=0$ , представляющее собой условие (3), является необходимым и достаточным для нахождения состояний равновесия. Поэтому на основании (15) и рис. 4 состояние равновесия может быть найдено на фазовой плоскости как точка пересечения интегральной кривой с осью I (точка  $A_t$  на рис. 4).

Далее из (15) и из рис. 4 следует, что  $I_t'$  является однозначной функцией тока; поэтому в рассматриваемой системе невозможны периодические движения и замкнутые фазовые траектории.

Так как изображающая точка движется по фазовой траектории в первом квадранте слева направо (что соответствует возрастанию I при положительной  $I_i$ ) и в четвертом квадранте справа налево (что

соответствует убыванию I при отрицательной  $I_t'$ ), то на рис. 4 изображающая точка стремится к точке  $A_t$  как в области первого, так и в области четвертого квадрантов, что показано стрелками и что также является признаком устойчивости рассматриваемого состояния равновесия.

Дифференцируя (15) по току, получим:

$$I_{t,l}^{"} = \frac{[e_{z}^{\prime}(l) - u^{\prime}(l)] L(l) - L^{\prime}(l) [e_{z}(l) - u(l)]}{[L(l)]^{2}}.$$
 (16)

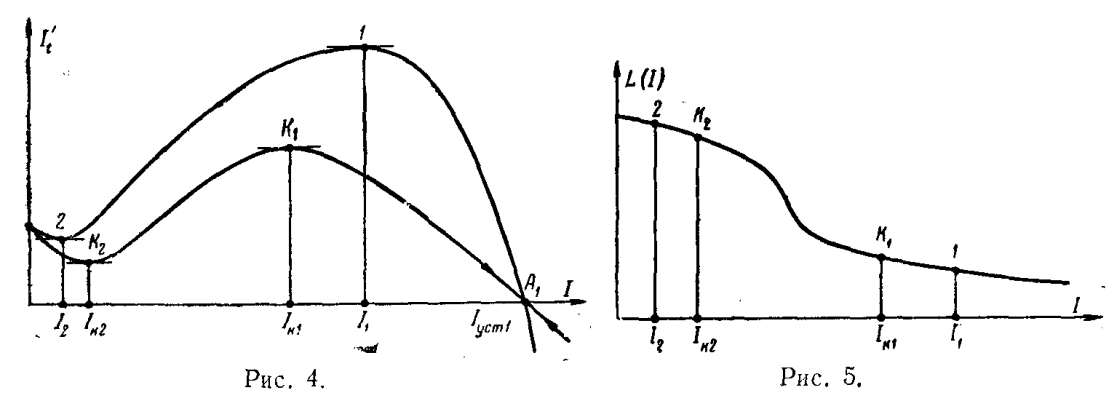
Последнее равенство показывает, что  $I_{t,I}^{"}$  обращается в нуль при экстремальных значениях  $I_t^{'}$ . Поэтому из (16) вытекает условие

$$[e'_{z}(I) - u'(I)]L(I) - L'(I)[e_{z}(I) - u(I)] = 0,$$

или

$$\frac{e_{z}(I) - u(I)}{L(I)} = \frac{e'_{z}(I) - u'(I)}{L'(I)}, \tag{17}$$

которое означает, что фазовая траектория приобретает экстремальные значения при тех значениях тока  $I_{\scriptscriptstyle 1}$  (или  $I_{\scriptscriptstyle 2}$ ), при которых отношение



разности ординат кривых  $e_{\varepsilon}(I)$  и u(I) к соответствующей ординате L(I) равно отношению разности производных тех же кривых к соответствующей производной кривой L(I) (рис. 3 и 5).

Имея в виду характер изменения L(I) с ростом I, заключаем, что L'(I) < 0 (рис. 5); отсюда следует, что для соблюдения условия (17) всегда должно быть  $|e_z'(I)| < |u'(I)|$  при  $|e_z(I)| > |u(I)|$ , что возможно лишь при  $|I_1| > |I_{K_1}|$  в случае максимума интегральной кривой и при  $|I_2| < |I_{K_2}|$ — в случае минимума интегральной кривой; при этом точки  $K_1$  и  $K_2$  обладают той особенностью, что в них касательные к  $e_z(I)$  параллельны касательным к u(I) при одинаковых токах, т. е. для этих точек выполняется условие  $e_z'(I) - u'(I) = 0$ .

В частном случае, когда L(I) = const, из (15) получаем:

$$I_{t,I}^{"} = \frac{e_z^{\prime}(I) - u^{\prime}(I)}{L(I)}, \qquad (18)$$

откуда следует, что в этом случае интегральная кривая приобретает экстремальные значения при таких  $I_{K_1}$  и  $I_{K_2}$ , при которых  $e_z'(I)-u'(I)=0$ , что, очевидно, и соответствует точкам  $K_1$  и  $K_2$  на рис. 3 и 5. Если учесть, что  $I_{t,I}''=\frac{d^2I}{dtdI}$  и что при  $I_{t,I}''=0$   $I_t'=f(I)$  приобре-

Если учесть, что  $I_{t,I} = \frac{1}{dtdI}$  и что при  $I_{t,I} = 0$   $I_t = f(I)$  приобретает экстремальные значения, то нетрудно понять, что точки I и  $I_t$  и соответствующие им токи  $I_t$  и  $I_t$  или точки  $I_t$  и  $I_t$  и соответ-

ствующие им токи  $I_{K_1}$  и  $I_{K_2}$  на рис. 4 при  $L\left(I\right)$  = const определяют точки

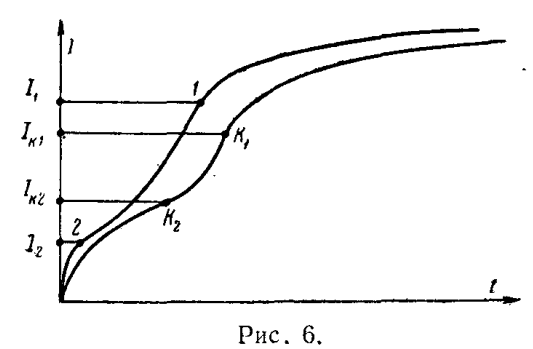
перегиба в кривой переходного процесса (рис. 6).

Из рассмотрения (15) и (16), а также из рис. 4, следует, кроме того, что для состояний равновесия, для которых  $I_t'=0$ ,  $I_{t,l}''\neq 0$  и  $|I_{t,l}''|<\infty$ , так как в точках равновесия  $e_z'(I)\neq u'(I)$  и конечны. Таким образом, интегральная кривая на фазовой плоскости не перпендику-

лярна к оси I, так как в точках, соответствующих состояниям равновесия (точка  $A_1$  на рис. 4), имеет ограниченную производную.

Далее из (16) следует, что  $I''_{t,I}$  ни при каких значениях I не приобретает неопределенных значений. Отсюда следует, что рассматриваемая фазовая траектория не имеет особенностей (особые точки отсутствуют). Последнее означает, что в

данном случае состояния равно-



весия не являются особыми состояниями системы. Последнее следует также и из того, что уравнение для второй производной по времени от (15) и второе уравнение системы (14) имеют общий множитель  $\frac{dI}{dt}$ , обращающийся в нуль в состояниях равновесия.

5. Влияние R на поведение системы. На рис. 2, 3 и 4 представлен случай, когда при изменении тока в пределах  $0 < I < < I_{yem1}$  кривая  $e_{\varepsilon}(I)$  располагается выше кривой u(I). Выясним, как будет меняться поведение системы, если мы будем изменять величину R, которое является параметром в (1). Этого можно достичь включением добавочного переменного сопротивления в силовую цепь системы рис. 1,a. Полагая R переменным, мы должны теперь (15) рассматривать как функцию двух переменных—тока и сопротивления, т. е.:

$$I_t' = f(I, R) = \frac{e_{\varepsilon}(I) - RI}{L(I)}. \tag{19}$$

Исследуем (19) на состояния равновесия, для чего следует положить:

$$e_z(I_{ycm}) - RI_{ycm} = 0.$$
 (20)

Из (20) следует, что при изменении R состояния равновесия будут соответствовать различным установившимся токам. При этом в зависимости от поведения функций  $e_{\varepsilon}(I)$  и u(I) при увеличении R могут появиться несколько точек пересечения кривых  $e_{\varepsilon}(I)$  и u(I). На рис. 7 представлены различные характерные случаи, соответствующие кривым u(I), приведенным для значений сопротивлений  $R_1$ ,  $R_2$ ,  $R_3$ ,  $R_4$  и  $R_5$ .

Как видим,

при  $R = R_1$  имеется одна точка  $A_{11}$  равновесия при  $I = I_{ucm11}$ ;

при  $R = R_{\scriptscriptstyle 2}$  имеются две точки  $A_{\scriptscriptstyle 12}$  и  $A_{\scriptscriptstyle 22}$  равновесия соответственно при  $I_{_{ycm12}}$  и  $I_{_{ycm22}}$ ;

при  $R{=}R_{\rm s}{-}$ три точки  $A_{\rm 13},\,A_{\rm 23}$  и  $A_{\rm 33},\,$  соответствующие токам  $I_{ycm13}$  ,  $I_{ycm23}$  и  $I_{ycm33};$ 

при  $R\!=\!R_{\scriptscriptstyle 4}\!-\!$  две точки  $A_{\scriptscriptstyle 14}$  и  $A_{\scriptscriptstyle 24}$  при токах  $I_{\scriptscriptstyle ycm14}$  и  $I_{\scriptscriptstyle ycm24}$ ;

при  $R \! = \! R_{\rm s} -$  одна точка  $A_{\rm is}$  при токе  $I_{\it ycm15}$ .

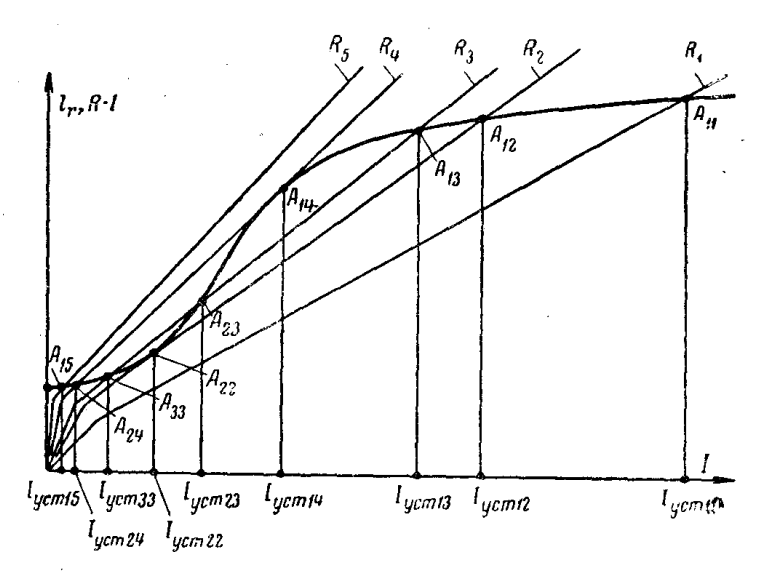
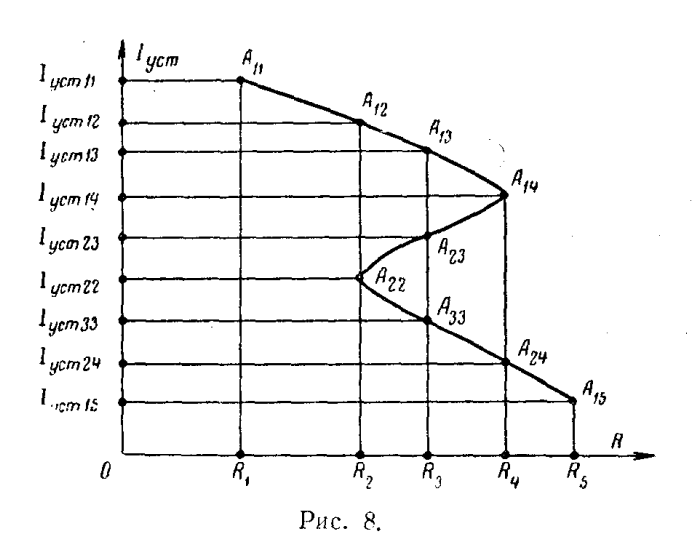


Рис. 7.



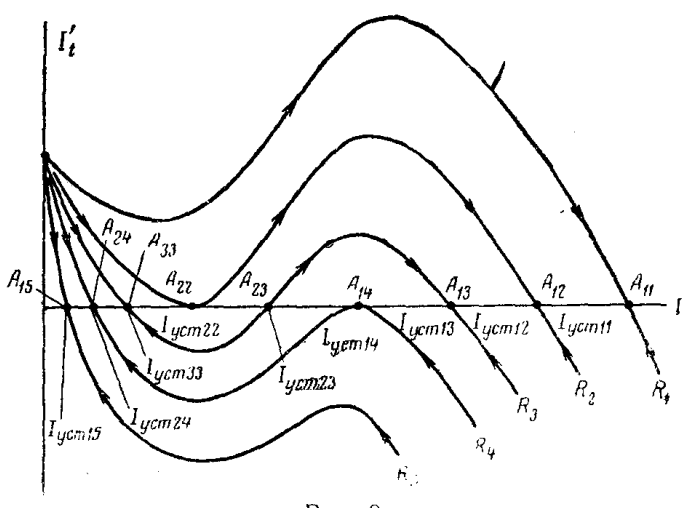
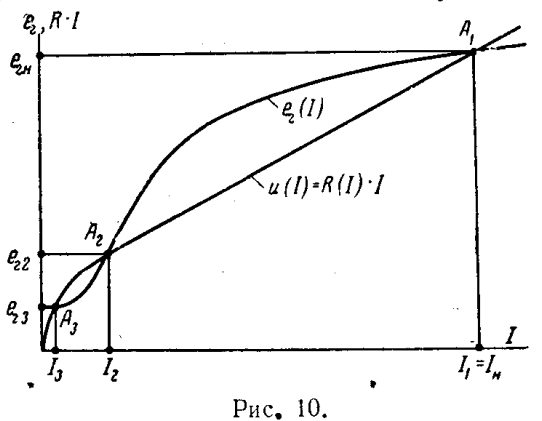


Рис. 9.

Установившиеся значения токов, соответствующие перечисленным точкам состояний равновесия системы, могут быть определены, если (2) при заданном значении R решать каждый раз относительно  $I_{ycm}$ . Исходя из этого и из рис. 7, легко может быть построена зависимость  $I_{ycm}$  от R, представленная на рис. 8. Из нее следует, что при изменении сопротивления и при некоторых его значениях система приобретает или теряет некоторые состояния равновесия. Как известно, значения параметра, при которых происходит изменение числа устой-

чивых состояний равновесия системы, носят название "бифуркационных". Такими "бифуркационными" значениями R в соответствии с рис. 8 будут значения  $R_2$  и  $R_4$ . Применяя изложенный выше метод, легко построить фазовые траектории для различных значений R. Эти фазовые траектории для  $R_1$ ,  $R_2$ ,  $R_3$ ,  $R_4$  и  $R_5$  приведены на рис. 9; из него следует, что при наличии трех состояний равновесия устойчивость этих состояний чередуется; так, например, точка  $A_{13}$  соответствует устой-



чивому, точка  $A_{23}$ —неустойчивому и точка  $A_{33}$ —вновь устойчивому состояниям равновесия. Особо следует отметить точки  $A_{22}$  и  $A_{14}$ , соответствующие полуустойчивым состояниям равновесия, имеющим место тогда, когда фазовая траектория касается оси I. Обращаясь снова к рис. 8, можем сказать, что ветви  $A_{11}-A_{14}$  и  $A_{22}-A_{15}$  бифуркационной диаграммы определяют области устойчивых состояний, а ветвь  $A_{14}-A_{22}$ — область неустойчивых состояний равновесия генератора.

Рассмотрим отдельно кривые  $e_{2}(I)$  и u(I) для случая трех состояний равновесия (рис. 10). Как уже указано выше, точки A, и A, являются точками устойчивых, а точка  $A_2$  — неустойчивого состояний равновесия. Если предположить, что точка  $A_i$  соответствует номинальному режиму генератора, то точка  $A_3$  по сравнению с точкой  $A_1$  располагается очень близко к началу координат; так как она определяет устойчивое состояние равновесия, то при подключении нагрузки к генератору последний возбудится не до номинального напряжения, а лишь до небольшой по величине э. д. с.  $e_{z3}$ , соответствующей точке  $A_{z}$ . Чтобы возбудить генератор до номинального напряжения, соответствующего точке A,, необходимо приложить к системе возбуждения "внешний толчок" такой величины, при которой генератор возбудился бы до значения э. д. с.  $e_z > e_{z2}$ , соответствующей точке  $A_2$  неустойчивого равновесия. Имея в виду сказанное и пренебрегая возбуждением генератора до э. д. с.  $e_{\it c3}$ , можно рассматриваемый случай назвать случаем жесткого самовозбуждения. В отличие от него рассмотренный ранее случай (рис. 2, 3 и 4) является случаем мягкого самовозбуждения генератора,

## Литература

Андронов А. А., Хайкин С. Э., Теория колебаний, ОНТИ НКТП СССР, 1937.